

Clavel, F., Gonzalez, M., Sottile, A., Christiansen, R., Gianni, G., Winocur, D., Ortiz, D., García, H., Lince Klinger, F., Rodriguez, A., Gimenez, M., Martinez, M. 2023. Estudios geofísicos sobre estructuras someras vinculadas al ascenso de las aguas termales de Pismanta, en el valle de Iglesia, San Juan, Argentina. Revista de la Asociación Geológica argentina 80(3): 537-558

Material Suplementario

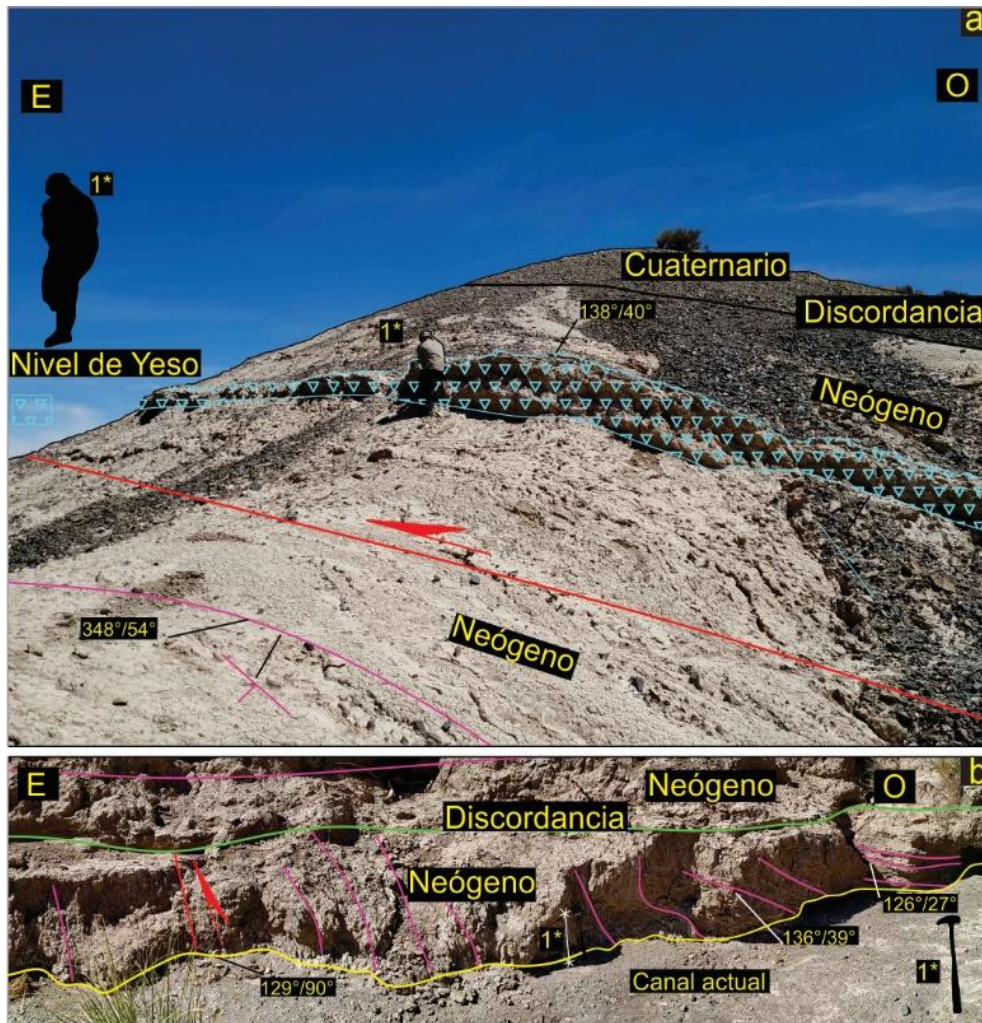


Figura suplementaria 1: a) Fotografía con la interpretaciones y mediciones geológicas

sobreimpuestas, del sector occidental de la localidad de Pismanta. Se puede observar una falla inversa (SF3b) con tendencia SE- y un azimuth de 138°. b) Fotografía con interpretaciones y mediciones geológicas sobreimpuestas, del sector norte de la localidad de Pismanta. Pueden observarse depósitos neógenos (con líneas magenta), con valores de azimuth que oscilan entre los 126° y 136°; afectados por una falla de igual tendencia (línea roja) y por el desarrollo posterior de una discordancia erosiva (línea verde). Modificado de Clavel et al. (2022).

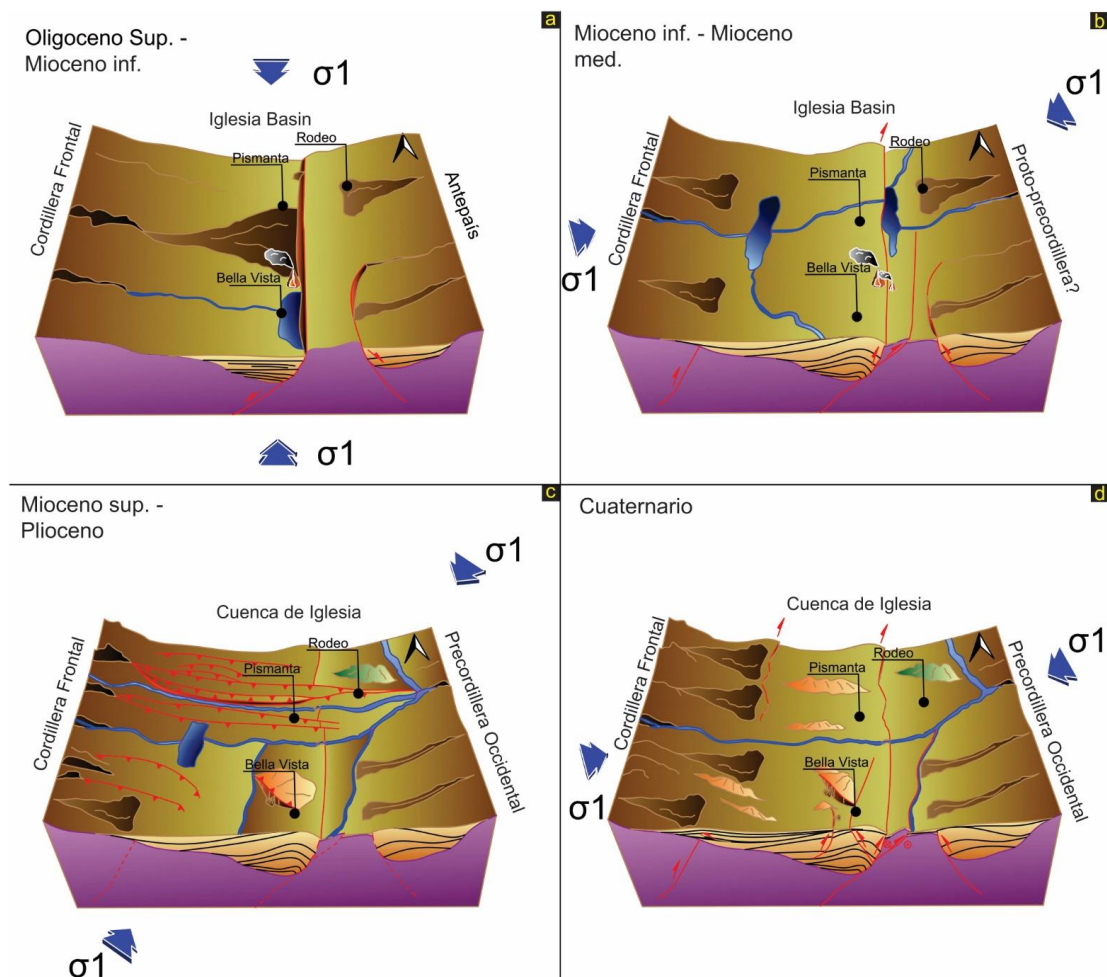


Figura suplementaria 2: Evolución tectónica de la cuenca de Iglesia abarcando desde el Oligoceno hasta el Cuaternario. Se subdividió en 4 estadios: a) Desarrollo extensional inicial, b) Inversión tectónica, Deriva del campo de estrés contraccional desde una dirección ENE- a NNE-, y d) Reordenamiento del campo de estrés contraccional desde la dirección NNE- a ENE-. Modificado de Clavel et al. (2022).

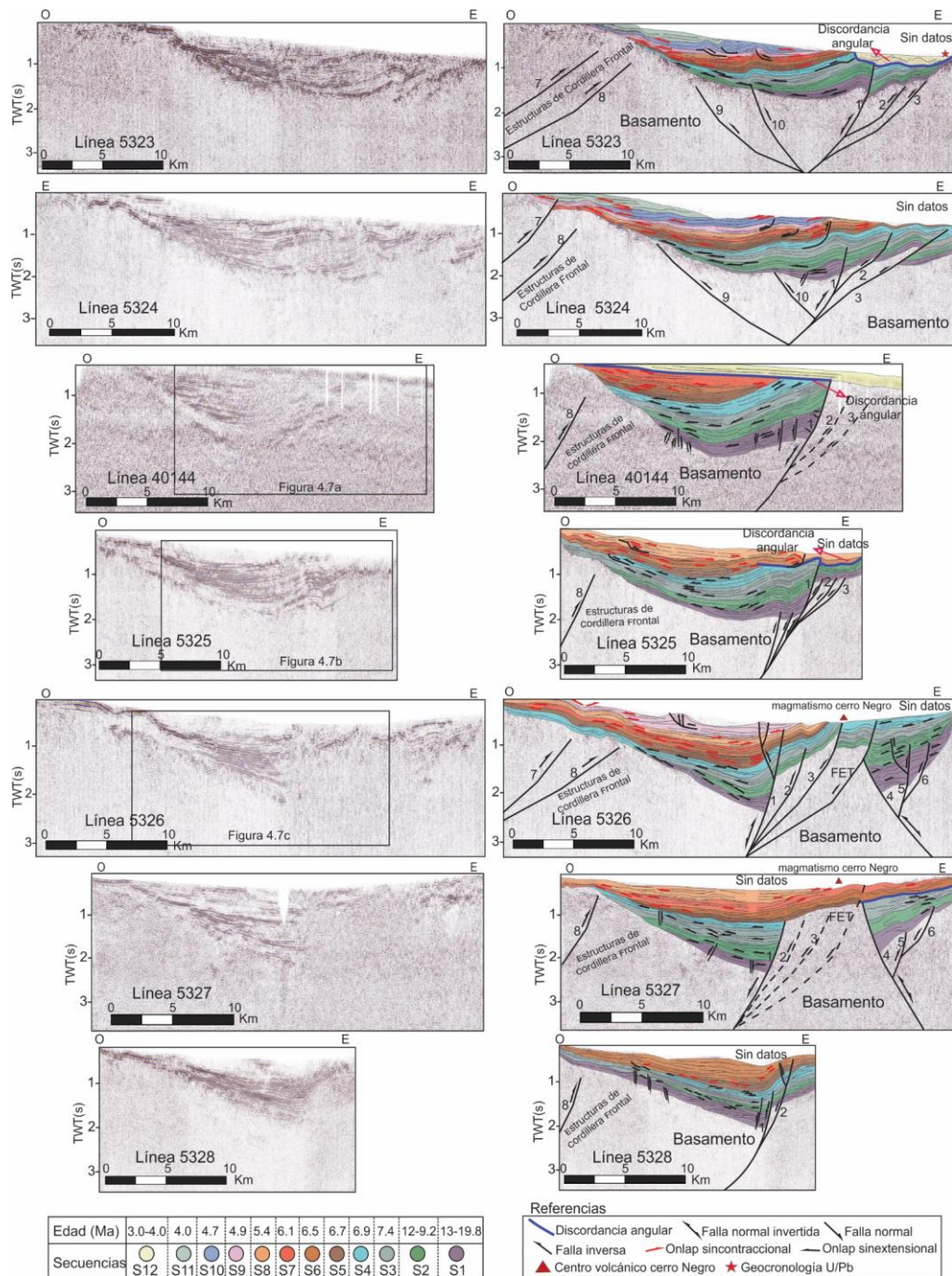


Figura suplementaria 3: Perfiles sísmicos E-O que muestran fallas normales invertidas y parcialmente invertidas en la cuenca de Iglesia (Fig. 3.3 para la ubicación de las líneas sísmicas). Etiquetas de las fallas 1: Falla normal principal; 2 y 3: Falla inversa (Shortcut); 4: Falla normal menor; 5, 6, 9, 10: Falla inversa (Back-thrusts); FET: Falla El Tigre; 7 y 8: Falla inversa de Cordillera Frontal. Tomado de Gonzalez et al. (2020).